

PAPER DETAILS

TITLE: Çelik-Beton Kompozit Kat Dösemesi Yangın Dayanım Deneyi

AUTHORS: Serdar SELAMET,Firat YOLAÇAN

PAGES: 8007-8022

ORIGINAL PDF URL: <https://dergipark.org.tr/tr/download/article-file/322207>

Çelik-Beton Kompozit Kat Döşemesi Yangın Dayanım Deneyi

Serdar SELAMET¹
Taygun Fırat YOLAÇAN²

ÖZ

Bu çalışma kapsamında Türkiye'de araştırma odaklı ilk çelik-beton kompozit kat döşemesi yapısal yanın deneyi gerçekleştirilmiştir. Bu çalışma, Türkiye'de gerek yanın yönetmelikleri açısından gerekse yapısal yanın konusunda teorik, nümerik ve deneysel araştırmalardaki eksiklikleri gidermeyi amaçlamaktadır. Yüksek katlı çelik bir yapı için tasarlanmış kompozit döşemenin iki kenarında simetrik bir bireşim mekanizması kullanılmış ve bu şekilde yanın firını alanından daha büyük bir döşeme alanı testi imkânı sağlanmıştır. Yanın firını monte edildikten sonra döşemenin alt yüzeyi ISO834 standart yanın eğrisiyle 105 dakika ısıtılmış ve sonrasında 90 dakika kontrollü olarak soğutulmuştur. Deney sırasında yapının sehim ve sıcaklık ölçümleri yapılmıştır. Alınan sonuçlar, beton döşemenin membran davranışını göstererek yük taşıyıcı özelliğini yanın boyunca devam ettirdiğini göstermektedir. Dolayısıyla kompozit kat döşemelerinde ikincil çelik kirişlerin yalıtsız kalması önerilmektedir.

Anahtar Kelimeler: Yanın dayanımı testi, simetrik bireşim mekanizması, yapısal yanın mühendisliği, kompozit döşeme, çelik bağlantı.

ABSTRACT

Fire Resistance Testing of a Steel-Concrete Flor Slab

This study conducts the first research based structural fire resistance test on a steel-concrete composite floor in Turkey. The goal of this research is to fill the knowledge gaps in the current Turkish building code for the structural fire safety and provide valuable insight for the development of new theoretical, computational and experimental research. The tested composite floor is specifically designed for a high-rise steel building. The floor is equipped with a patent pending mechanism to provide symmetric boundary conditions on two edges. The floor is subjected to ISO-834 standard fire curve from the bottom surface for 105 minutes followed by 90 minutes cooling. Displacement and temperature measurements show that at elevated temperatures, the concrete slab carries the load by tensile membrane action without contribution of the secondary beams. This study suggests that secondary

Not: Bu yazı

- Yayın Kurulu'na 01.03.2016 günü ulaşmıştır.
- 30 Eylül 2017 gününe kadar tartışmaya açıktır.
- DOI: 10.18400/tekderg.307544

1 Boğaziçi Üniversitesi, İnşaat Mühendisliği Bölümü, İstanbul - serdar.selamet@boun.edu.tr

2 Boğaziçi Üniversitesi, İnşaat Mühendisliği Bölümü, İstanbul - fırat.yolacan@boun.edu.tr

Çelik-Beton Kompozit Kat Döşemesi Yangın Dayanım Deneyi

steel beams are not need for fire protected as the concrete slab is sufficient in carrying gravity loading.

Keywords: Fire resistance test, symmetric connection mechanism, structural fire engineering, composite floor, steel connection.

1. GİRİŞ

Bu çalışmada, yüksek katlı yapılarda sıkılıkla kullanılmakta olan birincil kırışlar, ikincil kırışlar, beton döşeme ve çelik bağlantılarından oluşan ve literatürde halen yanın esnasında oluşan yüksek sıcaklıklar altında davranışı analitik yöntemlerle açıklanamamış olan kompozit döşeme sistemlerinin, yanın esnasında oluşan yüksek sıcaklıklar altında dayanım ve davranışının deneyel yöntemlerle ölçülmesi hedeflenmektedir. Yanın dayanım deneyi dışında, patent başvurusu gerçekleştirilmiş olan düşeyde serbest ve moment aktaran yeni birleşim mekanizması tasarlanmıştır. Yanın testlerinde kullanılan fırınların sınırlı boyutlarda olması nedeniyle yanın testleri için uygun olmayan ölçülerdeki döşeme sistemlerinin simetrik parçalar halinde test edilmesine olanak sağlayacak bir mekanizma yanın dayanım deneyi ile test edilecektir.

Gerçek boyutlarda kompozit döşemenin (8.6 m x 7.6 m) sadece çeyreği yukarıda bahsi geçen birleşim mekanizması kullanılarak ISO834 standart yanın eğrisine maruz bırakılacak ve sonrasında kontrollü olarak soğutulacaktır. ISO834 standart yanını ve kontrollü soğuma esnasında kompozit döşemeye ait sehim ve sıcaklık değerleri kaydedilecektir ve döşemenin yanın performansı irdelenecektir.

Son yıllarda gerçekleştirilen betonarme döşeme sistemlere ait yanın deneyleri, bu bölmelerin çökmeye karşı dirençli olduğunu göstermiştir [3, 4]. Bunun nedeni, beton döşemenin çevresel kırışlar ve kolonlar tarafından desteklenip bir ‘membran’ gibi davranmasıdır. Bu davranış için yaklaşık bir analitik çözüm bulunmuştur [5, 6, 7], ayrıca deney sırasında gözlemler çokmuş mekanizması hakkında bilgi vermiştir [8, 9]. Beton döşemenin, çekme kuvvetlerine karşı membran mekanizması ile yanına karşı daha dirençli olduğu bilinmesine rağmen, çelik kesme bağlantılarının bu çeşit bir sistemde dönme ve çekme kuvvetine maruz kalıp kalmayacağı tartışılan bir konudur [10, 11, 12]. Çelik bağlantılar, yapıların sabit kalması, özellikle kolonların yatay desteklenmesi ve burkulma yaşamaması için önemli bir fonksiyona sahiptir [1, 13, 14]. Bu nedenle yanından kaynaklanan kuvvetlere karşı yetersiz bağlantı gerilimi veya yetersiz süneklik durumu, çelik yapıda çökmeye yol açabilir. Kompozit döşemenin yanın altındaki yüksek sehimini ancak çelik bağlantılarının dönme kapasitelerinin yükseltilmesi ve daha sünek şekilde tasarlanması ile olur [15, 16, 17]. Bununla beraber bulonların yanına karşı dayanıklılığı diğer çelik malzemelerine karşı değişiklik göstermektedir ve çelik bağlantılarının mekanik davranışlarını tespit etmeyi daha da zorlaştırmaktadır [18].

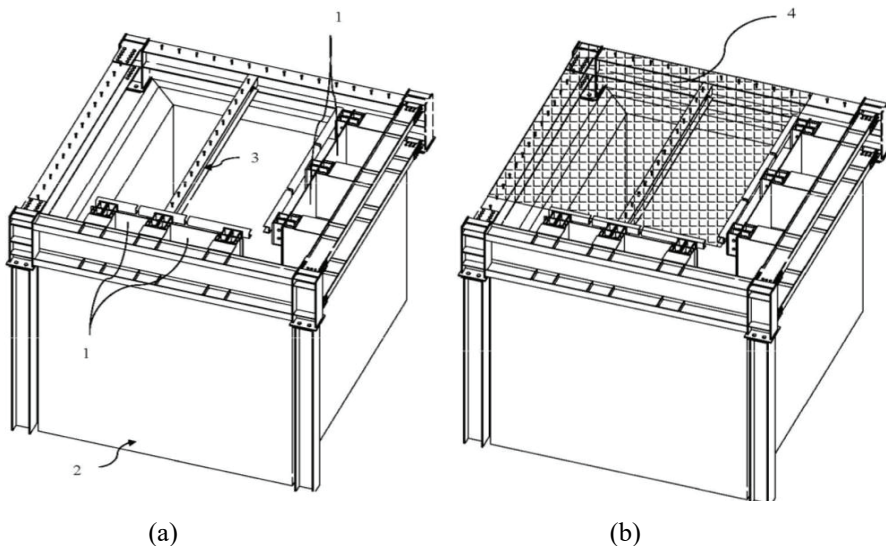
Yukarıda verilen literatür bilgisi ışığında bu projenin literatüre yapacağı katkı aşağıda belirtilmiştir:

Geçmişte yapılan deneylerde anlaşıldığı üzere, sadece beton döşemenin yanına karşı performansı analiz edilmiştir. Çelik kırış ve bağlantılarından oluşan kompozit sistemin yanın dayanım deneyi bu alana yenilik getirecektir. Bu deney ile birlikte simetrik koşulları sağlayan yeni bir birleşim mekanizması hem oda hem de yüksek sıcaklıklarda test edilmiştir.

2. YANGIN DAYANIM TESTİ

Boyutları 8.6 m x 7.6 m olan yüksek katlı bir bina döşeme sisteminin simetrik çeyreği Şekil 1'de gösterilmiştir. Döşeme sistemi; birincil kırışlar, ikincil kırış, beton döşeme ve çelik bağlantılarından oluşmaktadır ve kompozit döşemenin 4.3 m x 3.8 m boyutlarındaki simetrik çeyregini temsil etmektedir. Döşeme betonu, Eurocode standartlarına uygun olarak 4 ay bekletilmiş ve nem oranı 2.6% olması koşuluyla test edilmek için hazırlanmıştır. Deney Efectis Era Avrasya Yangın Laboratuvarı'nda gerçekleştirilmiştir. Binaların Yangından Korunması Hakkında Yönetmelik'te, döşemeler ile birlikte 30,50m'den yüksek binalardaki tüm yapı elemanlarında 120 dk standart yangın eğrisine (ISO834) dayanım aranmaktadır [19]. Ancak bu kapsamda çelik kırışların yalıtılmadığı varsayılmaktadır. Yangın dayanım testinde ikincil çelik kırış yalıtılmadığı için daha ihtiyyatlı davranışlı döşeme alt yüzeyinden sadece 105 dakika ISO834 standart yangın eğrisine maruz bırakılmış ve ardından 90 dakika kontrollü olarak soğutulmuştur.

1-Birincil kırışlar 2-Yangın fırını 3-İkincil kırış 4-Beton döşeme



Şekil 1. 4.3 m x 3.8 m büyütüldüğündeki çelik-beton kompozit döşeme ve çelik çerçevesinin yangın fırınına monte edilmiş halindeki CAD çizimleri (a) beton döşeme olmadan, (b) beton döşeme ile.

2.1. Test Düzeneği

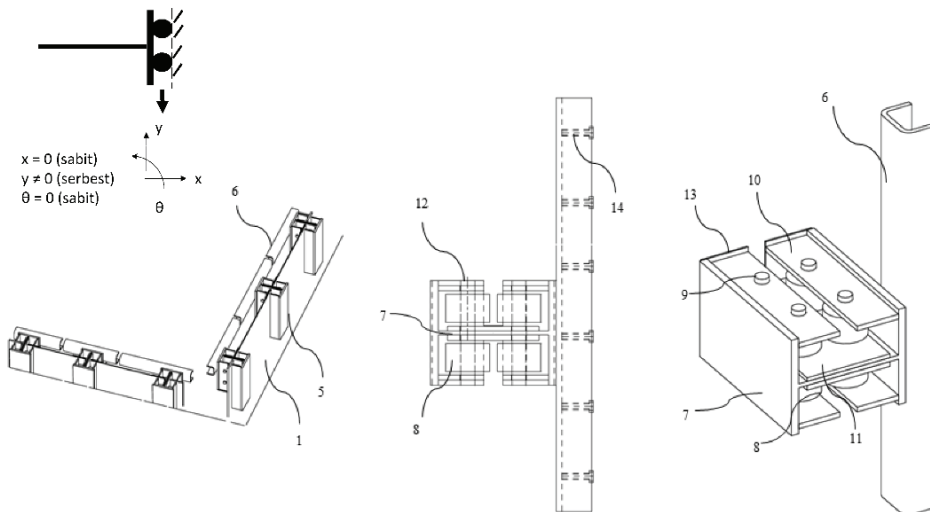
Birincil kırışlar, ikincil kırış, beton döşeme ve çelik bağlantılarından oluşan kompozit döşeme sistemine ait elemanlar Şekil 1 ve 2'de numaralandırılarak ilgili şekiller üzerinde belirtilemiştir. Şekil 1b'de görülen çelik-beton kompozit döşeme sisteminin iki kenarında yer alan birincil kırışlar için HEA 400 kullanılmış ve bu kırışlar birbirlerine ankastre olarak bağlanmıştır. Döşemenin diğer iki kenarı ise simetrik eksenlerdir ve Şekil 3 ve 4'de gösterimi yapılan simetrik sınır koşulları sağlayan birleşim mekanizması ile diğer ana

Çelik-Beton Kompozit Kat Döşemesi Yangın Dayanım Deneyi

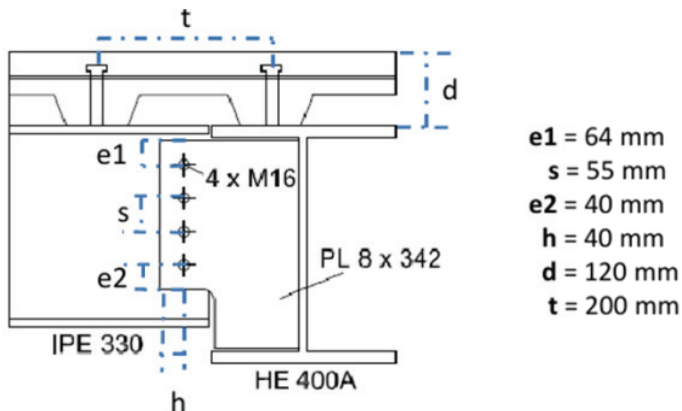
kirişlere bağlanmıştır. Toplamda dört ana kiriş yanın fırını duvarları üzerine oturtulmuş ve beton kayma kamaları ('shear stud') ile çelik çerçeveye bağlanmıştır. Deneyde kullanılan döşeme yüksek katlı yapılarda sıkılıkla kullanılan C30 tipi beton kullanılmıştır. Beton kalınlığı 70-120 mm arasında değişen bir sac trapez ile belirlenmiştir. S500 A252 tipi çelik hasır donatı betonun üst yüzeyinden 50 mm uzaklıkta olacak şekilde betonun içine yerleştirilmiştir. Döşemenin ortasında (ve altında) bir ikincil kiriş (IPE330) bulunmaktadır. Bu kiriş, Şekil 3'de gösterilmiş olan kesme bağlantısı ile birincil kiriş'e (HEA 400) bağlanmıştır. Kompozit döşemeye ait çelik çerçeve, yanın laboratuvarına getirildikten sonra üzerine C30 beton dökülmüş ve oluşturulan çelik-beton kompozit döşeme yanın testi şartlarına uygun olacak şekilde nem yüzdesinin azalması için test öncesinde 4 ay süre ile bekletilmiştir. Oluşturulan kompozit döşeme, beton olmadan yaklaşık olarak 11 ton, beton ile ise 14 ton ağırlığındadır.

Kompozit döşeme sistemi, yanın fırına yatay olarak monte edilmiştir. Monte işleminde ana kirişler yanın duvarlarına oturtularak çelik bulonlar ve kaynaklama ile sabitlenmiştir. Döşemenin tüm alanı, IPE 330 ikincil kiriş ve çelik kesme bağlantısı fırının içinde kalmıştır ve yanına direkt maruz bırakılmıştır. HEA 400 birincil kirişleri ve simetrik koşulları sağlayan ana kirişler (toplama dört adet) fırın dışında olup, yanına dolaylı olarak maruz kalmıştır. Fırının içinde kalan simetrik koşullar sağlayan birleşim mekanizması ve kesme (mafsal) bağlantısı dışındaki tüm bölgeler yalıtsız bırakılmıştır. Simetrik koşullar sağlayan birleşim mekanizması ve bağlantı bölgesi 25 mm'lik 2 adet seramik yünü ile kaplanmış ve yanın testi esnasında ortaya çıkacak olan yüksek sıcaklıklara karşı yalıtılmıştır.

1-Birincil kirişler 5-Lineer rulman sistemi 6-C profil 7-Hareketli kiriş 8-Rulman 9-Pim 10-Birinci pim destek yan plaka 11-İkinci pim destek yan plaka 12-Dikey destek plaka 13-Yatay destek plaka 14-Kayma kaması



Şekil 2. Simetrik sınır koşullarını sağlayan birleşim mekanizması: Moment aktaran, yatay sabit ve dikey serbestlik sağlayan lineer rulman sistemi CAD çizimi.



Şekil 3. IPE330 İkincil kiriş - HEA400 Birincil kirişin kesme bağlantı detayı.

2.2. Simetrik Birleşim Mekanizması

Yangın davranış testleri genellikle yangın firınlarında gerçekleştirilmektedir. Ancak, döşemelerin de dâhil olduğu büyük genişlikteki yatay yapılara ait yangın davranış testleri kısıtlı hacimlere sahip yangın firınlarında yapılamamaktır. Geniş boyutlu döşemeler ancak ölçekli şekilde imal edilerek test edilmektedir. Ölçeklendirilmiş bir yapının ısı dağılımı ölçeklendirilmemiş yapıdan görece büyük farklılıklar göstermekte ve bu durum dolaylı olarak mekanik davranışa etki etmektedir. Bu nedenle, ölçeklendirilen bir yapının yangın davranış testi sonuçları ile gerçek boyuttaki bir yapı davranış testi sonuçları aynı olmayacağından.

Sekiz metre genişlikten büyük bir yapıyı test edecek büyülüğe veya donanıma sahip ulusal veya uluslararası bir yangın firını bulunmamaktadır. Bu nedenle laboratuvar ortamında büyük genişlikteki kompozit döşemeler test edilememektedir.

Bu çalışma kapsamında Şekil 2'de şematik ve Şekil 4'de üretimi gerçekleştirilmiş olarak gösterilen moment aktaran, yatay düzlemede sabit hem çekme hem de basıncı karşı dayanıklı, düşey düzlemede serbest olan simetrik sınır koşulları sağlayan bir yangın dayanım test mekanizması üretilmiştir. Bu proje aşamasında ortaya çıkan buluş için Türk Patent Ofisine başvuru yapılmıştır [20].



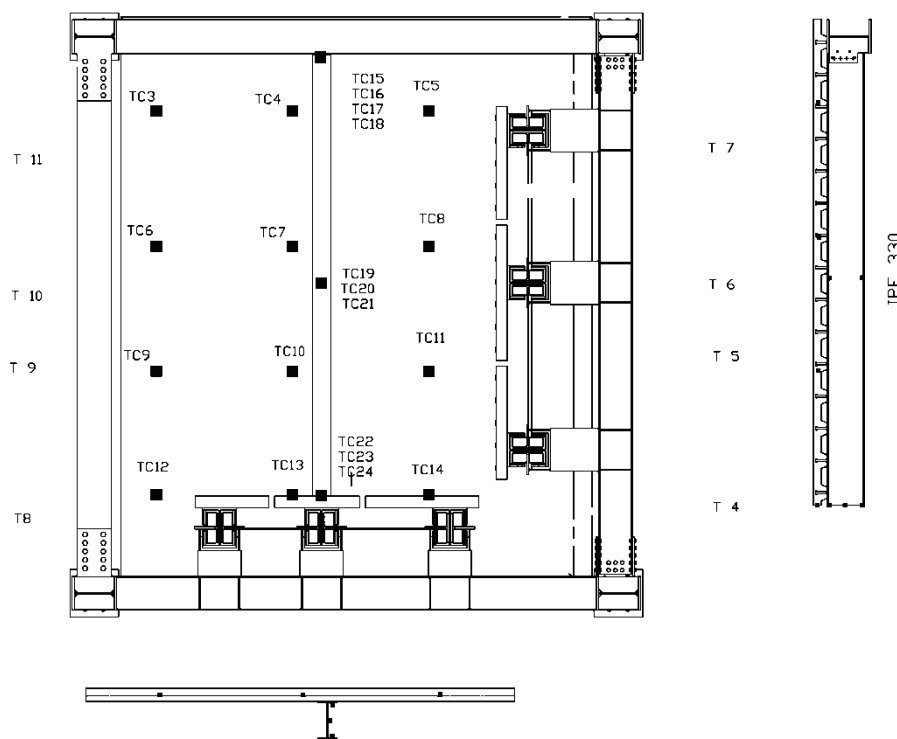
Şekil 4. Simetrik sınır koşullarını sağlayan birleşme mekanizmasının moment aktaran, yatay sabit ve dikey serbestlik sağlayan lineer rulman sistemi.

2.3. Ölçüm Metotları

Çelik-beton kompozit döşeme, düşey statik yükleme ve yangın testi öncesinde ölçüm aletleri ile donatılmış ve hem yangın öncesi hem de yangın sonrası kontrollü soğuma esnasında kesintisiz olarak izlenmiştir. Isıl-çiftler ile sıcaklık, doğrusal deplasman ölçme cihazları (LVDT) ile de sehim ölçülmüştür.

2.3.1. Sıcaklık Ölçerler

Tüm isıl-çiftler, krom-demir alaşımı ‘inconel’ malzeme ile kaplı K- tipidir ve 1200 °C’ye kadar dayanıklıdır. Şekil 5’de yer haritası gösterimi yapılmış olan isıl çiftler ile yangın fırını, ikincil kiriş orta bölgesi, ikincil kiriş (IPE 330) – birincil kiriş (HEA 400) bağlantı bölgesi ve donatı üzerinde sıcaklık ölçümüleri gerçekleştirilmiştir. Fırın içerisinde bulunan isıl-çiftler (T4-T11), fırının ISO834 yangın eğrisine uygun olarak brülörler tarafından düzgün yayılı olarak ıstıldığı teyit etmek için kullanılmıştır. İkincil kiriş (IPE 330) ve birincil kiriş (HEA 400) bağlantısı üzerine 4 adet, ikincil kiriş (IPE330) orta bölgesine 3 adet ve ikincil kiriş simetrik birleşim mekanizması bağlantısı yakınına 3 adet isıl-çift yerleştirilmiştir (TC15-TC24). Tüm isıl-çiftler çelik yüzeyine yerleştirilmiştir. Kesme bağlantısındaki isıl-çiftler yalıtmak altında kalmıştır. Beton döşeme içindeki A252 çelik hasır üzerinde toplamda 12 adet isıl-çift yerleştirilmiştir (TC3-TC14).



Şekil 5. Fırın içindeki ve kompozit döşeme üzerindeki isıl-çift (TC) ölçerlerin yer haritası.

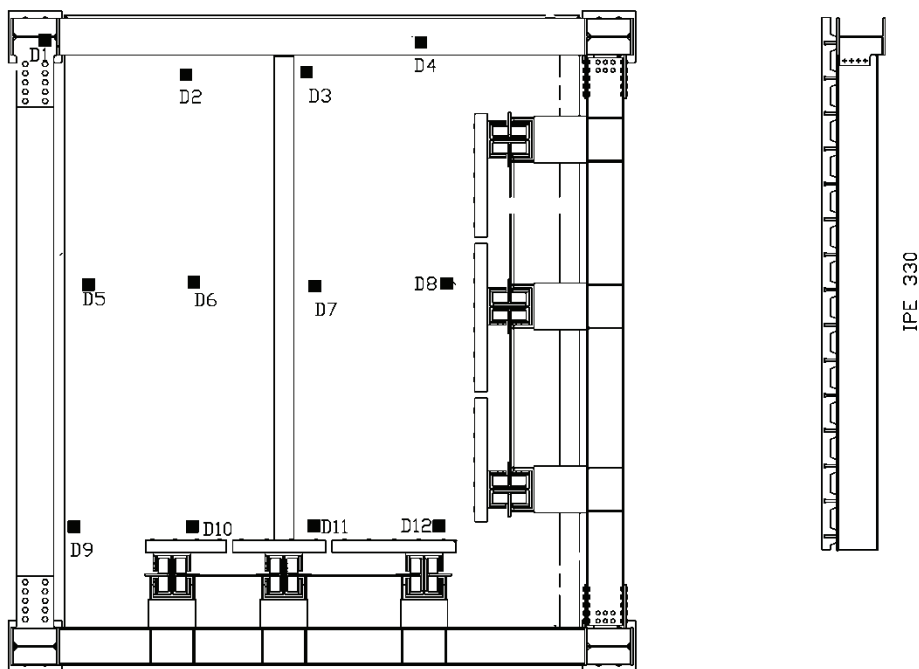
2.3.2. Sehim Ölçerler

Şekil 6'de yer haritası gösterilmiş olan sehim ölçerler (D1-D12) beton döşemenin membran çekme etkisine girip girmedğini ve bu etkiye ne zaman girdiğini gözlemllemek amacıyla yerleştirilmiştir. Sehim ölçerler beton yüzeyin üzerine yerleştirilmişlerdir. Sehim ölçerler için ısiya dayanıklı ve genleşmeyen bir malzeme kullanılmıştır. Ölçülen sehim ile simetrik birleşim mekanizmasının düşey serbestlik verip vermediği teyit edilmiştir.

2.4. Düşey Statik Yükleme

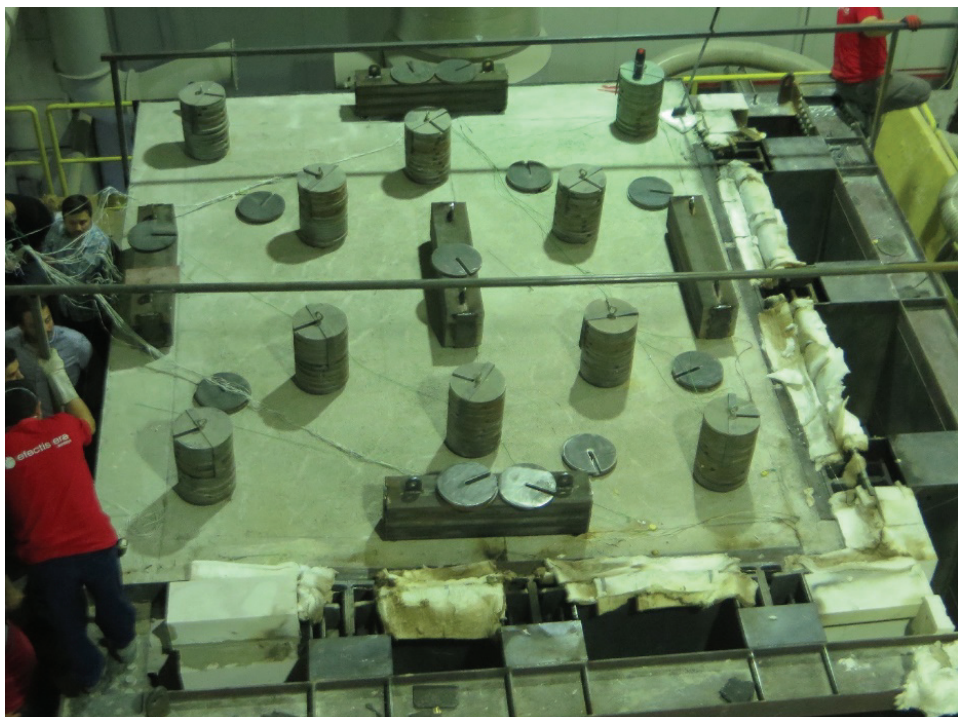
Denklem - 1, Eurocode (EC1) Standardına göre ofis yapıları için yapısal yanınanında uygulanması gereken yük kombinasyonunu göstermektedir. Denklem - 1 de “ w ” yanın tasarımlı yükünü, “ Q ” hareketli yükü, “ G ” ise yapı sabit yükünü ifade etmektedir [21]. Denklem - 1 de “ Q ” ile ifade edilen yükleme Eurocode (EC1) Standardına uygun olacak şekilde beton yüzeyine 2.5 kN/m^2 düzgün yayılı yük olarak uygulanmıştır [21]. Şekil 7'de düzgün yayılmış gösterilmiş olan “ Q ” hareketli yükü 10 adet 200 kg, 5 adet 375 kg, 13 adet 20 kg kullanılarak oluşturulmuştur. Yapı sabit yükü “ G ” beton özgül ağırlığı yani yaklaşık 2.4 kN/m^2 olacak şekilde dikkate alınmıştır. Bu bilgiler ışığında Denklem - 1'e göre yanın tasarımlı yükü 3.75 kN/m^2 'dir.

$$w = 1,0G + 0,5Q \quad (1)$$



Şekil 6. Kompozit döşeme üstündeki sehim (D1-D12) ölçerlerin yer haritası.

Çelik-Beton Kompozit Kat Döşemesi Yangın Dayanım Deneyi



Şekil 7. Kompozit döşeme üzerindeki test öncesinde yükleme durumu.

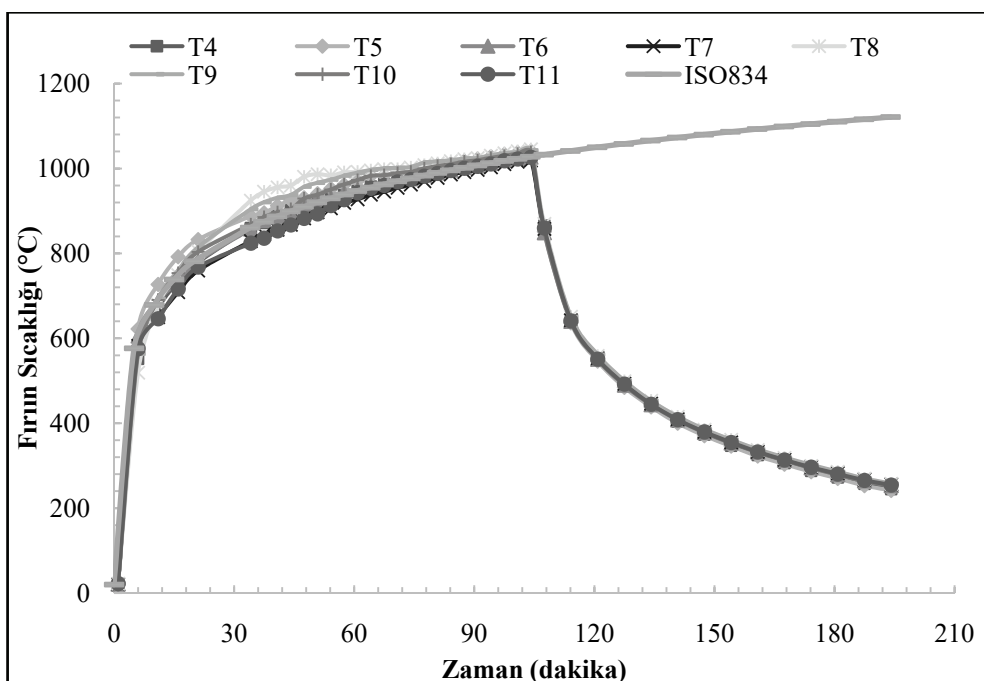
3. GÖZLEM VE DEĞERLENDİRMELER

Yangın fırınında ISO834 yanın eğrisine maruz bırakıldıktan 5 dakika sonra kompozit döşemenin simetrik eksenlerinden duman çıkmaya başlamıştır. 20 dakikada döşemedede gözle görülür yatay yer değiştirmeler gözlemlenmiştir. 25 dakika içerisinde beton yüzeyinde çatlaklar gözlenmiştir. Bununla birlikte deneyin 30. dakikasından itibaren beton yüzeyinden gözle görülebilir miktarda su buharı çıkmıştır ve kabarmalar oluşmuştur. Soğuma esnasında ise döşemedede az miktarda yukarı doğru geri çekilme olmuştur. Bunun nedeni ikincil kırışın (IPE330) soğuyarak mukavemetini ve rıjitliğini geri kazanması olarak yorumlanabilir.

3.1. Fırın Sıcaklıkları

Fırındaki ortam sıcaklığı, fırın hacminin ortasına yerleştirilen ısil-çiftler ile ölçülmüştür. Fırın içerisine yerleştirilen ısil-çiftlerin yer haritası Şekil 5’de gösterilmiştir (T4-T11). Yangın fırını, fırın içerisindeki sıcaklığı ISO834 sıcaklık eğrisini uygun olacak şekilde oluşturmak için hacimdeki basıncı ve gaz brülörü ayarını otomatik olarak değiştiren dijital bir mekanizma ile donatılmıştır. Bu sayede tüm hacimde tekdüze ve ISO834 eğrisine çok yakın bir sıcaklık eğrisi elde edilmiştir. Şekil 8 yangın fırını içerisinde yer alan ısil çiftlere

ait sıcaklık eğrileri göstermektedir. 105 dakika ısınma sonrasında gaz brülörleri kapatılıp 90 dakika kontrollü bir soğuma evresine girilmiştir.



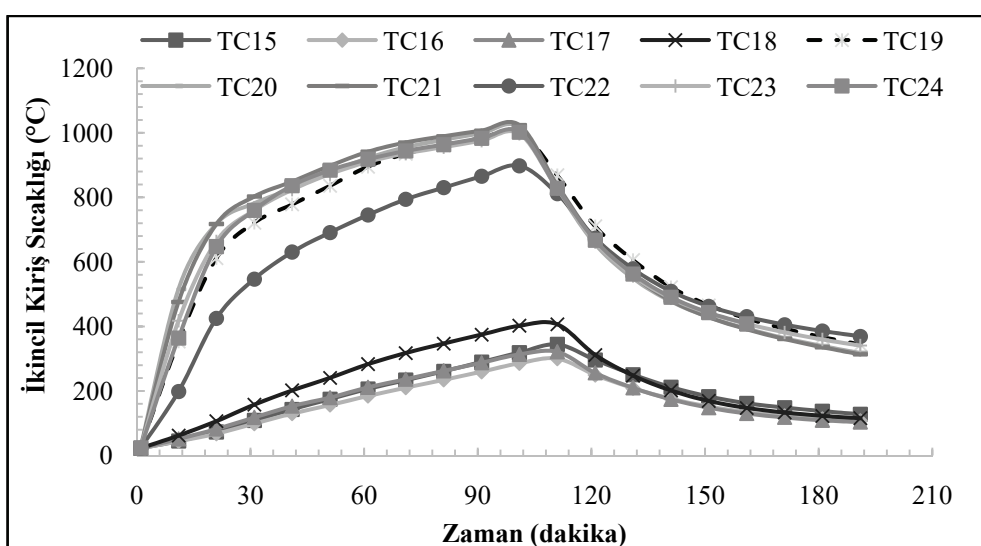
Şekil 8. Fırının farklı bölgelerindeki sıcaklık verileri (bkz. Şekil 5).

3.2. Çelik kırış ve Beton Döşemedecki Donatı Sıcaklıkları

ISO834 yanın eğrisine maruz bırakılan kompozit döşeme bileşenlerinin sıcaklıkları, farklı bölgelerdeki ıslı-çiftler aracılığı ile ölçülmüştür (Şekil 9). TC10 ıslı-çifti deney başından itibaren hata vermiş ve 5. dakikada devre dışı kalmıştır. Alınan sonuçlara göre, korunmasız ikincil kırış (IPE330) orta bölgesinde yer alan ve alt yüzeyden üste doğru sıralanan TC21, TC20 ve TC19 numaralı ıslı-çiftler beklenen doğrultuda ISO834 yanın eğrisine yakın davranış göstermişlerdir. İkincil kırış orta bölgesinin alt yüzeydeki ıslı-çift (TC21), TC19'dan yaklaşık 100 °C daha fazla ısınmıştır. İkincil kırış yalıtımsız bırakıldığı için kırışın alt ve üst yüzeyindeki sıcaklık farkı oldukça azdır. İkincil kırış ve birincil kırış (HEA400) bağlantısı seramik yünü ile kaplanmıştır. Bağlantının yakınındaki kırış bölgesinde yer alan ve alttan üste doğru sıralanan TC18, TC17, TC16 ve TC15 ıslı-çiftleri beklenen doğrultuda oldukça düşük bir sıcaklığa maruz kalmışlardır. İkincil kırış ve birincil kırış bağlantı bölgesinin alt ve üst yüzeyleri arasında yaklaşık olarak 100°C'lik sıcaklık farkı oluşmuştur. İkincil kırış- birincil kırış bağlantısı üzerinde yer alan ıslı çiftlerden TC15 ve TC18, 1. ve 3. bulona, TC16 ve TC17 ise bağlantı plakası üzerine sabitlenmiştir. Bulon üzerine sabitlenmiş olan TC18 ıslı çifti TC15-17'den daha fazla sıcaklığa sahip olması bağlantının alt yüzeyinde yalıtımın tam anlamıyla sağlanmadığını göstermektedir.

Çelik-Beton Kompozit Kat Döşemesi Yangın Dayanım Deneyi

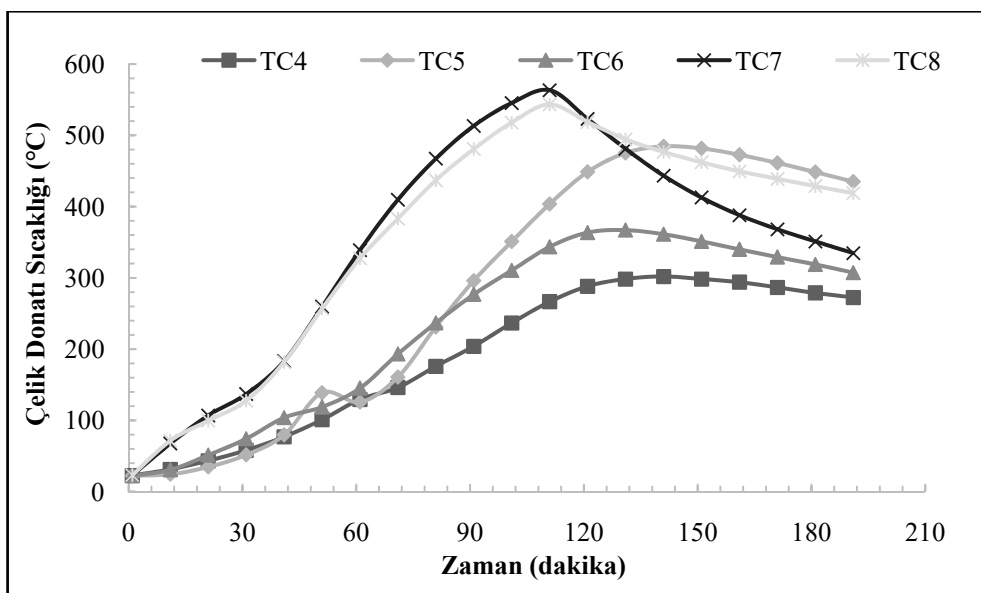
TC24, TC23 ve TC22 ısil çiftleri simetrik koşulu sağlayan lineer rulman sistemine yakın yerde ikincil kırış üzerinde olacak şekilde sırasıyla alt yüzeyden üsté doğru yerleştirilmiştir. Lineer rulman sistemi, yanından etkilenmemesi için yalıtılmıştır ancak kırış üzerindeki TC23 ve TC24 ısil çiftleri yalıtımının dışında bırakılmıştır. TC22 ısil çifti ise yalıtımın içinde kalmak zorunda kalmış ve Şekil 9'da görüldüğü üzere lineer rulman sistemi bölgesinde bulunan diğer ısil çiftlerden ayrılmıştır.



Şekil 9. Çelik kırış üzerindeki ısil-çift sıcaklıkları (bkz. Şekil 5).

Şekil 5'de yer haritası gösterilmiş olan beton donatısında yer alan ısil-çiftlere ait sıcaklıklar Şekil 10'da gösterilmiştir. TC3 ısil çifti döşemenin montajı sırasında hasar görmüştür ve bu ısil çift üzerinden ölçüm yapılamamıştır. Ayrıca TC12 ısil çifti 135 dakikadan sonra hasar görmüştür, dolayısıyla bu ısil-çiftten 135. dakika sonrası veri alınamamıştır. Döşemedeki donatıda değişik noktalarda yer alan ısil çiftlerden elde edilen sıcaklık verileri 300 °C'ye kadar farklılık göstermektedir. Bu sıcaklık farkının bir nedeni sac trapezin kalın (120 mm) ve ince (70 mm) olduğu bölgelerde bulunan ısil-çiftlerin yanım ile arasında 50 mm beton yalıtımı farkı olmasıdır. Diğer bir nedeni ise fırın duvarına yakın bölgelerin daha az sıcaklığa sahip olmasıdır. Fırının orta bölgesinde bulunan ısil çiftler (TC7, TC8, TC9, TC11) 500-600 °C'ye kadar ısınırken, fırın duvarlarına yakın bölgelerde bulunan ısil-çiftler 300 °C'ye kadar ısınmışlardır.

Eurocode standartlarına göre ikincil kırışın (IPE330) yük taşıma özelliğini yitirdiği kritik sıcaklık 635 °C'dir [22]. Şekil 9'da görüldüğü üzere, kırışın sıcaklığı 20. dakikadan itibaren 635 °C'yi aşmıştır ve dolayısıyla döşeme sistemi üzerinde ölü yük olarak asılı kalmıştır. Düşey statik yükleme sadece beton döşeme tarafından taşınmıştır. Mafsallı çelik bağlantı yalıtıldığı için yanım esnasında 400°C altında kalmış ve Eurocode standartlarına göre kuvvet aktarım kapasitesini korumuştur [22].



Şekil 10. Beton döşemedeki donatı üzerindeki ısıl-çift sıcaklıklar (bkz. Şekil 5).

3.3. Döşemealtı Sehim Göstergeleri

Beton döşeme üzerine Şekil 7'de gösterilmiş olan düşey statik yüklemeye yapıldıktan sonra kompozit döşeme simetrik kenar köşe noktasında 45 mm'lik deplasman kaydedilmiştir. Şekil 11'deki sehim ölçümleri düşey statik yüklemeye tamamlandıktan sonra betonun üst yüzeyine çakılan çivilere takılan cihazlar ile kaydedilmiştir. Şekil 11'de negatif (-) değerler statik yüklemeden gelen yer değiştirme (sehim) sıfırlandıktan sonra aşağı yönde yer değiştirmeyi ifade etmektedir. Şekil 11'de görüldüğü üzere yanın duvarı üzerindeki çevre kırısların etrafındaki noktalar beklenen doğrultuda çok az hareket etmişken, simetrik sınıra yakın, özellikle de köşe noktadaki bölge (D12) 50 mm kadar aşağı doğru sehim vermiştir. Dolayısıyla, statik yüklemle ile beraber simetrik köşe (D12) toplamda $50+45=95$ mm sehim vermiştir. Diğer noktalardaki sehimler beklediği gibi simetrik sınıra yaklaşırken kademeli olarak artmıştır. D1-D5 ana kırış yakın oldukları için az sehim göstermiştir. Bunlardan D3, ikinci kırışın üzerinde olduğundan 20 mm kadar sehim verebilmiştir. 15. Dakikada tüm ölçülerde hızlı bir aşağı inme eğilimi vardır, bunun nedeni ikinci kırış (IPE330) sıcaklığının ortalama 800°C 'ye çıkması ve kırışın taşıma kapasitesini kaybetmesidir.

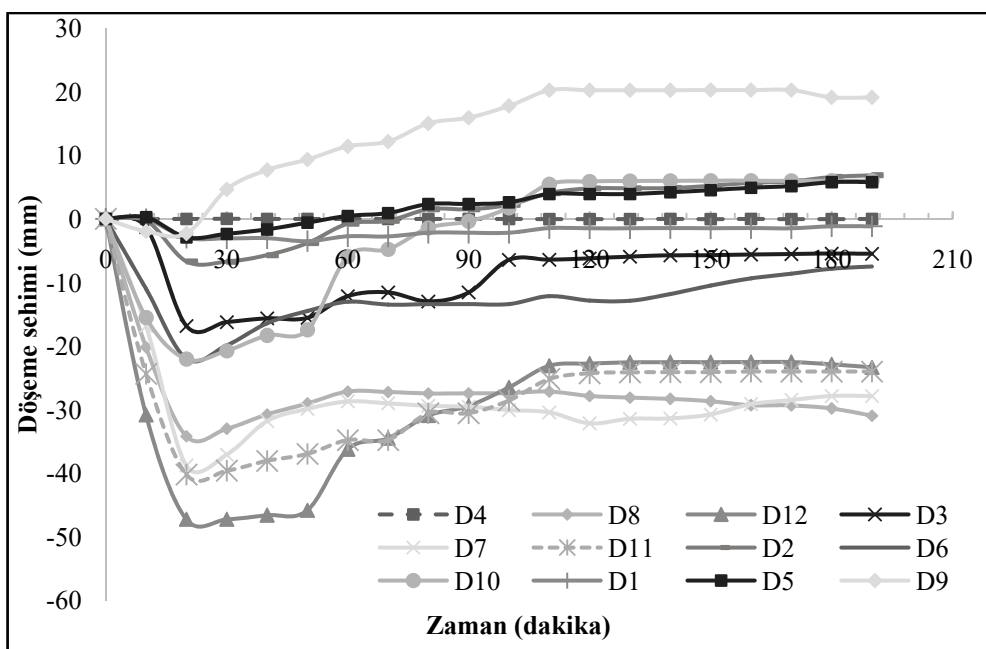
İkinci kırış üzerindeki D11 en fazla 40 mm sehim göstermiştir. Bu veri, Eurocode standartlarına göre kompozit kırışlarında işletilebilirlik ('serviceability') $L/250$ değerini aşmaktadır [21].

Sıcaklıklar arttıkça, sehimlerde yukarı doğru bir eğilim görülmüştür. Hızlı bir yükseliş ise 60. dakikada D12 ve D10'da gözükmemektedir. Sıcaklık artarken betonun yukarı çıkışabilmesi fiziksel olarak ihtimal dışı olduğundan, bu esnada betona tutturulan çivilerin 60. dakikadan sonra beton üzerindeki çatlak ve kabarmalardan dolayı yerlerinden çıkış gevşemeleri ve

Çelik-Beton Kompozit Kat Döşemesi Yangın Dayanım Deneyi

dolayısıyla hatalı bir okuma gerçekleştirmeleri muhtemeldir. D9 noktasındaki oldukça fazla yukarı yönde (+) hareket tam olarak açıklanamamaktadır.

Genel olarak, döşeme beklenenden daha az sehim göstermiştir. Bunun bir nedeni ölçümden kaynaklanan hatalar olabilir. Diğer bir nedeni ise simetrik birleşim mekanizmasında yanın esnasında oluşan sıcaklık artışı sonucunda genleşmelerin yaşanması ve döşemedede oluşan eksenel kuvvetler sonucunda simetrik birleşim mekanizması birleşenleri arasında sürtünme kuvvetlerinin ortaya çıkış olması olarak yorumlanabilir. Bu sürtünme kuvvetlerinin oluşması birleşim mekanizmasının doğru işleyişinin bir sonucudur. Sürtünme katsayısını azaltacak yağ vb. maddelerin kullanımı yanın deneyinde mümkün değildir. Bu araştırma kapsamında yapılacak yeni deneylerde sürtünme kuvvetlerinin etkisini azaltmak için hidrolik bir yükleme yapılacak ve bu şekilde döşeme üstündeki yük yanın süresince kademeli olarak artırılacaktır.



Şekil 11. Statik yükleme sonrasında, yanın esnasında beton döşeme üstinden ölçülen farklı noktalardaki sehimler (bkz. Şekil 6)

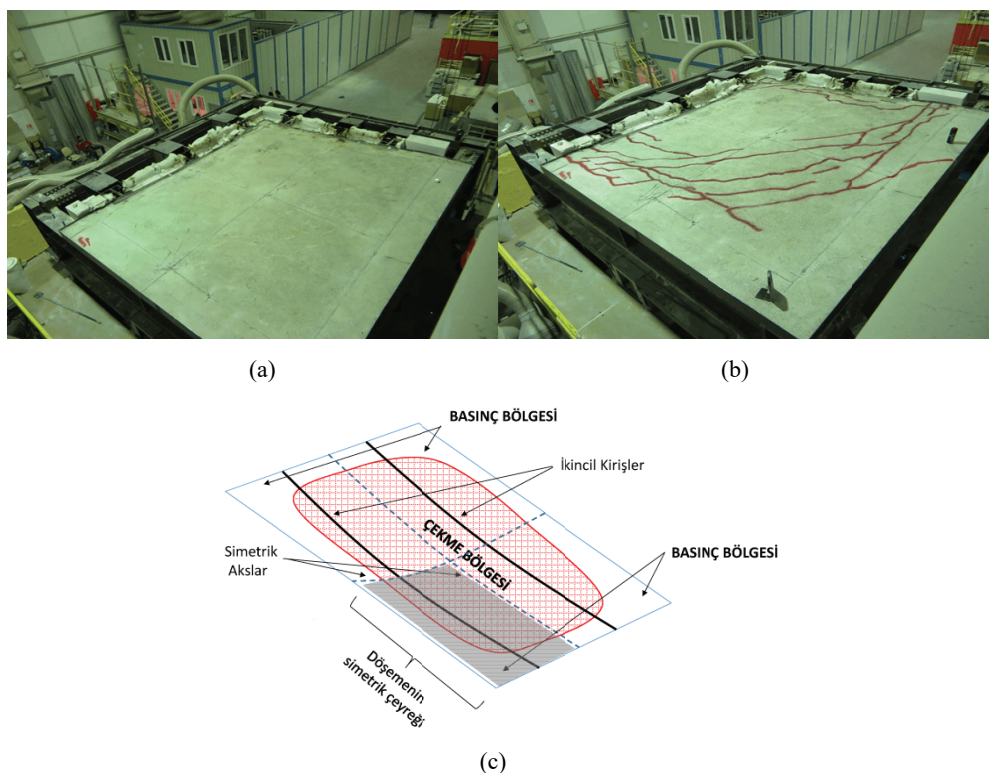
3.4. Yangın Testi Öncesi ve Sonrası Gözlemleri

Kompozit döşeme simetrik sınır koşullarını sağlayan birleşim mekanizmasının yüksek sıcaklıklarda doğru olarak çalıştığı teyit edilmiştir. Şekil 12'de görüldüğü üzere deney sonrasında ikincil kiriş (IPE330) kararlılığını (stabilite) yitirmemiş, kesme bağlantısı (bkz. Şekil 3) yakınılarında IPE330 alt bölgesinde yerel burkulmaya rastlanmıştır.



Şekil 12. Yalıtımsız IPE330 kirişinin ve sac trapezin test sonrası deformasyonu IPE330 kirişindeki bağlantı yakınındaki yerel burkulma

Şekil 13a-b'de kompozit döşemenin test sonrası görüntüsü yer almaktadır. Simetrik kenarlara doğru artan sehim, döşemeude çökme bölgesi oluşturmuş beton yüzeyinde çatlaklar meydana gelmiştir. Bu durum beton döşemenin membran etkisine girdiğini açıkça göstermektedir (bkz. Şekil 13c).



Şekil 13. (a) Kompozit döşemenin test sonrası görüntüüsü, (b) çatlakların kırmızı boyla ile belirginleştirilmiş hali, (c) döşemenin yanın esnasındaki membran davranışını tasviri

4. SONUÇLAR VE ÖNERİLER

Bu çalışmada, Türkiye'de araştırma odaklı ilk çelik-beton kompozit kat döşemesi yapısal yanın deneyi gerçekleştirilmiştir. Bu çalışma, Türkiye'de gerek yanın yönetmelikleri açısından gerekse yapısal yanın konusunda teorik, nümerik ve deneysel araştırmalardaki eksiklikleri gidermeyi amaçlamıştır.

Kompozit döşemenin standart yanın eğrisine göre 105 dakika yanın dayanımı olduğu kanıtlanmıştır. Alınan sonuçlar, yalıtımsız bırakılmış olan ikincil kırışın (IPE330) 800 °C'e kadar ısladığını ve dayanımını yitirdiğini göstermektedir. Ancak beton döşemenin membran davranışını göstererek yük taşıyıcı özelliğini yanın boyunca devam ettirdiği gözlemlenmiştir. Dolayısıyla kompozit kat döşemelerinde taşıyıcı özelliğini yanın esnasında yitirecek olan ikincil çelik kırışların yalıtımsız bırakılması önerilmektedir. Büyük çaplı çelik yapılarda, sabit ve hareketli yük dağılımını sağlayan ikincil kırışların yalıtılmamasının yanına karşı yalıtım maliyetini 15-20% civarında azaltacağı öngörmektedir. Bu öneri ulusal ve uluslararası ekonomik kazanımlara ve inşaat sektöründe karbon ayak izinin azaltılmasına olanak sağlayacaktır.

Bununla birlikte kompozit döşeme yer alan donatıların da sıcaklıklarını kompozit döşeme merkezi çevresinde 400 °C'e kadar ulaşmıştır. Çelik (hasır) donatıların betonun alt yüzeyinden uzak yerleştirilmesi ve böylece yanına karşı beton tarafından yalıtılması önerilmektedir. Donatının basınç bölgesinde yakın yerleştirilmesi, geleneksel tasarımın karşıt bir çözümüdür. Döşemenin membran davranışını gerçekleştirmesi ancak içindeki donatıların sünek ve yüksek mukavemetle sahip olmasına bağlıdır.

Yapısal yanın deneyinde ilk defa kullanılan simetrik simir koşulları oluşturan bir bireşim mekanizması kullanılmıştır. Bu mekanizma yanın esnasında moment aktaran, yatay düzlemden sabit hem çekme hem de basınca karşı dayanıklı, düşey düzlemden serbest olacak şekilde tasarlanmıştır. Bu proje aşamasında ortaya çıkan buluş için Türk Patent Ofisine başvuru yapılmıştır. Bireşim mekanizmasının yanın esnasında oluşan yüksek sıcaklıklar altında bekendiği şekilde düşey serbestlik sağladığı, sehim ölçerlerden alınan veriler ile doğrulanmıştır.

Teşekkür

Bu araştırma Boğaziçi Üniversitesi Bilimsel Araştırma (BAP) No. 7122P, TÜBİTAK 3001 Başlangıç Ar-Ge No. 114M791 ve Avrupa 7. Çerçeve Marie Curie IIF CONFIRE 328993 proje destekleri ile gerçekleştirilmiştir. Kompozit döşemenin çelik çerçeve ve bireşim mekanizması imalatında emeği geçen Çeçen İnşaat ve Enerji Sistemleri A.Ş.'den Cengizhan Çeçen ve RZK Çelik A.Ş.'den Kağan Yemez'e teşekkür ederiz. Deney sırasında proje asistanlığı yapmış Boğaziçi Üniversitesi'nde yüksek lisansını devam ettiren Caner Böyükbaş'a yardımlarından dolayı teşekkür ederiz.

Kaynaklar

- [1] Gann, RG. Final report on the collapse of World Trade Center Building 7, Federal building and fire safety investigation of the World Trade Center disaster, NCSTAR-1A, NIST, 2008.

- [2] The Geneva Association, World Fire Statistics Newsletter, 29, 2014.
- [3] Beitel J and Iwankiw N., Analysis of needs and existing capabilities for full-scale fire resistance testing, National Institute of Standards and Technology, NIST GCR, 02-843, 2002.
- [4] British Steel plc, Swinden Technology Centre U. The behaviour of multi-storey steel framed buildings in fire, Technical report, British Research Establishment (BRE), UK, 1999.
- [5] Bailey CG., The structural behaviour of steel frames with composite floor slabs subject to fire: Part 1: Theory, *The Structural Engineer*, 78(11), 19-27, 2000.
- [6] Bailey CG., Membrane action of slab/beam composite floor systems in fire, *Engineering Structures*, 26, 1691-1703, 2004.
- [7] Bailey CG. and Toh WS., Small-scale concrete slab tests at ambient and elevated temperatures, *Engineering Structures*, 29, 2775-2791, 2007.
- [8] Buchanan Andrew H., *Structural Design for Fire Safety*, New York, Wiley, 2001.
- [9] Wald F, da Silva LS, Moore D, Lennon T, Chladna M, Santiago A, Benes M, and Borges L., Experimental behaviour of a steel structure under natural fire, *Fire Safety Journal*, 41(7), 509–522, 2006.
- [10] Astaneh-Asl A, Liu J, McMullin KM., Behavior and design of single plate shear connections, *Journal of Constructional Steel Research*, 58(5-8), 1121-41, 2002.
- [11] Garlock ME and Selamet S., Modeling and behavior of steel plate connections subject to various fire scenarios, *Journal of Structural Engineering*, ASCE, USA, 136(7), 897–906, 2010.
- [12] Selamet S, Garlock ME., Robust fire design of single plate shear connections. *Engineering Structures*, 32(8), 2367-2378, 2010.
- [13] Chung KF and Ip KH., Finite element investigation on the structural behaviour of cold-formed steel bolted connections, *Engineering Structures*, 23(9), 1115-25, 2001.
- [14] El-Rimawi JA, Burgess IW, Plank RJ., The influence of connection stiffness on the behaviour of steel beams in fire, *Journal of Constructional Steel Research*, 43(1-3), 1997.
- [15] Selamet S, Garlock ME., Predicting the maximum compressive beam axial force during fire considering local buckling, *Journal of Constructional Steel Research*, 71, 189-201, 2012.
- [16] Selamet S, Garlock ME., Plate buckling strength of steel wide-flange sections at elevated temperatures. *Journal of Structural Engineering*, ASCE 2013; 139(11): 1853-1865.
- [17] Selamet S, Bolukbas C., Fire resilience of shear connections in a composite floor: Numerical investigation, *Fire Safety Journal*, doi:10.1016/j.firesaf.2016.02.003, 2016.

Çelik-Beton Kompozit Kat Döşemesi Yangın Dayanım Deneyi

- [18] Kirby BR., The behaviour of high-strength Grade 8.8 bolts in fire, Journal of Constructional Steel Research, 33(1-2): 3-38, 1995.
- [19] Binaların yanından korunması hakkında yönetmelik, Resmi Gazete, Sayı 27344, 2009.
- [20] “Simetrik sınır koşulları sağlayan bir yangın dayanım test mekanizması”, Evrak tarihi: 26.11.2015, Evrak No: 2015-GE-436248, Dosya No: 2015/14992
- [21] CEN. ENV 1991-1-2:2002 – Eurocode 1, Actions on structures, Part 1.2: General actions – Actions on structures exposed to fire, Brussels, 2002.
- [22] CEN. ENV 1993-1-2:2005 – Eurocode 3, Design of steel structures, Part 1.2: General rules – Structural fire design, Brussels, 2005.